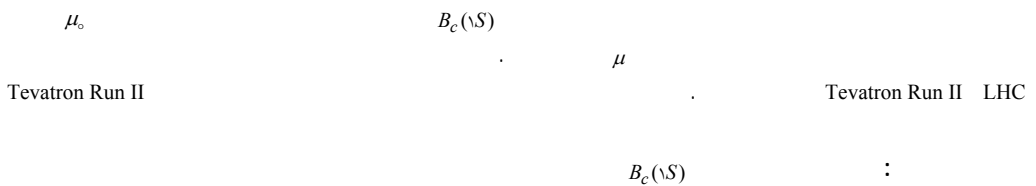


## Tevatron Run II LHC $B_c(\Lambda S)$

r.sepahvand@gmail.com :

(دریافت مقاله: ۱۳۸۹/۹/۱۶؛ دریافت نسخه نهایی: ۱۳۹۰/۳/۹)



توسط یک پراکندگی سخت تولید می‌شود و متعاقباً به یک مزون  $B_c$  با کسر تکانه طولی  $\zeta$  ترکش می‌یابد.  
 تاکنون اثر اسپین کوارک یا پاد کوارک اولیه که به مزون سنگین و جت کوارک یا پادکوارک نهایی ترکش می‌یابد در نظر گرفته نشده است. از این‌رو ما در این کار اثر سمتگیری اسپین کوارک ترکش یافته و جت کوارک نهایی روی تولید مزون‌های  $B_c$  را در نظر گرفته و سطح مقطع آنها را در مرتبه LO و در برخورد دهنده هادرتونی LHC محاسبه خواهیم نمود.

$B_c(\Lambda S)$

تابع ترکش که آن را با  $(z) D(z)$  نشان می‌دهند، تابعی است که ترکش یک پارتون به یک هادرتون را نشان می‌دهد و می‌توان آن را به عنوان چگالی احتمال تولید یک هادرتون از یک پارتون اولیه در نظر گرفت.

ذرات شامل بیش از یک کوارک سنگین اشیاء جالبی برای مطالعه نظریه QCD به حساب می‌آیند. خواص این ذرات آزمون مهمی برای مدل‌های مختلف ذرات بنیادی، از جمله قواعد جمع QCD و پتانسیل‌های غیر نسبیتی فراهم می‌کند. یکی از این ذرات مزون با دو طعم سنگین  $(\Lambda S)$  است که در حالت‌های مختلف از جمله در دو حالت شبیه نردهای  $(S_c)$   $B_c(\Lambda S)$  حالت برداری  $(\Lambda S_c)$  یافت می‌شود. تا کنون مطالعات زیادی بر روی این مزون‌ها صورت گرفته است [۷-۱]. طف جرمی این مزون‌ها شبیه کوارکونیم‌های  $\psi/\rho/\gamma$  است. بررسی‌ها نشان داده است که احتمال تولید این مزون‌ها در انرژی‌های بالا یا  $P_T$  بزرگ بیشتر می‌باشد. در  $P_T$ ‌های بزرگ مکانیسم عمده تولید مزون  $B_c$  یا هر مزون سنگین دیگری از طریق ترکش مستقیم کوارک‌های سنگین است. در مورد یک کوارک یا پاد کوارک سنگین  $b$  یا  $c$  در تکانه‌های عرضی بزرگ  $P_T$

$$x_1 = \frac{m_1}{M}, \quad x_2 = \frac{m_2}{M} \quad (4)$$

در این روابط  $m_1$  و  $m_2$  به ترتیب جرم کوارک‌های سنگین  $c$  و  $b$  و  $M$  جرم مزون سنگین است.

چهار بردار اسپین برای یک کوارک با چهار تکانهٔ

$$p^\mu = (p^0, p) \quad (5)$$

$$s^\mu = \frac{2\lambda}{m} (|p|, p^0 \hat{p}), \quad (6)$$

تعریف می‌شود که در آن  $\pm 1 = 2\lambda$ . چهار بردار اسپین در شرایط زیر صدق می‌کند

$$S.p = 0, \quad S.S = -1 \quad (7)$$

از طرف دیگر حالت مقید مزونی با حالت موج  $S$  و چهار تکانهٔ  $\bar{P}$  می‌تواند در حالت شبه نرده‌ای  $(^1S_0)$ ، و برداری  $(^3S_1)$  با بردار قطبش  $\in$  قرار گیرد که این بردار و مؤلفه‌های طولی و عرضی آن در شرایط زیر صدق می‌کنند

$$\sum_{r=0}^3 \epsilon_{(r)}^\mu (p) \epsilon_{(r)}^\nu (p) = -(g^{\mu\nu} - \frac{p^\mu p^\nu}{M}), \quad (8)$$

$$\epsilon^{(T)\mu} \cdot \bar{P}_\mu = 0 = \epsilon^{(L)\mu} \cdot \bar{P}_\mu, \quad (9)$$

$$\epsilon^{(T)\mu} \cdot \epsilon_\mu^{(T)} = \epsilon^{(L)\mu} \cdot \epsilon_\mu^{(L)} = -1, \quad (10)$$

$$\epsilon^{(T)} \cdot \bar{\bar{P}} = 0 = \epsilon^{(L)} \times \bar{\bar{P}}.$$

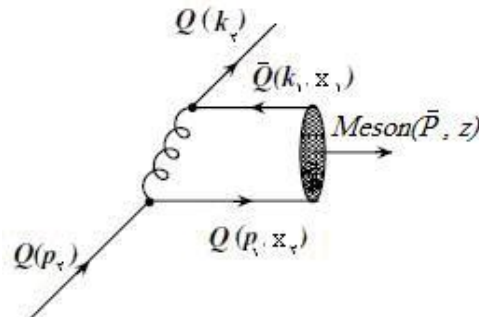
تابع ترکش تولید یک مزون سنگین حالت موج  $S$  از یک کوارک سنگین اولیه  $Q_i$  (کوارک  $c$  یا  $b$ ) یا پاد کوارک‌های آنها در مقیاس اولیهٔ ترکش  $\mu$  (که برابر مجموع جرم سکون ذرات نهایی است) را با تابع ترکش زیر تعریف می‌کنیم [۸ و ۹]

$$D(z, \mu_0) = \int |T_M| \times \delta^3(\bar{P} + \vec{k}_1 - \vec{p}_1) d^3 \bar{P} d^3 \vec{k}_1. \quad (11)$$

در این رابطه  $T_M$  دامنهٔ پراکندگی تولید مزون سنگین از کوارک اولیه  $i$  بوده و انتگرال‌ها روی فضای فاز گرفته می‌شوند. دامنهٔ  $T_M$  را می‌توان بر حسب تابع موج حالت مقید مزونی  $\psi_M$  و دامنهٔ پراکندگی سخت  $T_H$  به صورت زیر نوشت

$$T_M(\bar{P}, p_1, k_1) = \int [dx] T_H(\bar{P}, p_1, k_1) \psi_M, \quad (12)$$

که در آن



شکل ۱. نمودار فاینمن تولید مزون  $B_c(1S)$  در مرتبه LO

به منظور محاسبهٔ توابع ترکش، مدل ساده‌ای در چارچوب تکانهٔ بی‌نهایت و در مرتبهٔ LO بر اساس نمودار فاینمن شکل ۱ در نظر می‌گیریم. در این فرآیند از حرکت فرمی اجزاء تشکیل دهندهٔ مزون سنگین صرف‌نظر نموده و فرض می‌کنیم که تکانهٔ عرضی کوارک سنگین اولیهٔ مستقیماً به کوارک سنگین نهایی منتقل شود

$$\begin{aligned} p_1^\mu &= (p_1^0, \vec{p}_{1L}), \\ p_2^\mu &= (p_2^0, \vec{p}_{2T}, \vec{p}_{2L}), \\ k_1^\mu &= (k_1^0, \vec{k}_{1L}), \\ k_2^\mu &= (k_2^0, \vec{k}_{2T}, \vec{k}_{2L}). \end{aligned} \quad (13)$$

همچنین انرژی ذرات نهایی بر حسب انرژی کوارک سنگین اولیهٔ و پارامتر ترکش،  $\frac{k_1^0 + p_1^0}{p_2^0}$ ، که برابر کسر تکانهٔ یا انرژی

حمل شدهٔ توسط مزون است، به صورت زیر به دست می‌آید

$$\bar{P}^0 = z p_0, \quad p_1^0 = x_1 z p_2^0, \quad k_1^0 = x_1 z p_2^0, \quad k_2^0 = (1-z) p_2^0 \quad (14)$$

که در آن  $p_2^0$  انرژی کوارک سنگین اولیه،  $\bar{P}^0$  انرژی حمل شدهٔ توسط مزون،  $p_1^0$  و  $k_1^0$  انرژی کوارک‌های تشکیل دهندهٔ مزون،  $k_2^0$  انرژی حمل شدهٔ توسط پادکوارک نهایی و  $x_1$  کسر انرژی از مزون است که توسط اجزای داخلی آن حمل می‌شود. پایستگی انرژی و تکانهٔ ایجاد می‌کند که روابط زیر بین

$$k_1^0 + k_2^0 = 1. \quad (15)$$

با توجه به شکل ۱ و بحث‌های مطرح شده می‌توان کسر تکانه‌های  $x_1$  را به صورت زیر بر حسب جرم کوارک‌ها و مزون نوشت

طرف دیگر اسپینور دامنه برای یک حالت مقید مزونی به جرم  $M$ ، چهار تکانه  $\bar{P}$  و عملگر تصویر اسپین  $\Pi_{s,s_z}$  به صورت زیر تعریف می‌شود [۱۱]

$$v(k_1, s)\bar{u}(p_1, s) = (\bar{P} + M)\Pi_{s,s_z}, \quad (19)$$

$\Pi_{s,s_z}$  برای حالت شبه نرده‌ای  $S^z$  و برداری  $S^x$  به ترتیب  $\Pi_{s,s_z} = \gamma_5 \Pi_{s,z}$  و  $\Pi_{s,s_z} = \gamma_5$  است. بنابراین با در نظر گرفتن اسپین کوارک و مزون، قسمت اسپینوری دامنه به صورت زیر حاصل می‌شود

$$\begin{aligned} \Gamma\bar{\Gamma} &= Tr\left[ \frac{1}{2}(\pm \gamma_5 S_p)(p_2 + m)\gamma^\mu(p_1 + m)\Pi_{s,s_z}\gamma^\mu \right. \\ &\quad \times \left. \frac{1}{2}(\pm \gamma_5 S_k)(k_2 + m)\gamma^\nu\Pi_{s,s_z}(p_1 + m)\gamma_\nu \right], \end{aligned} \quad (20)$$

که در آن  $S_p$  و  $S_k$  به ترتیب چهار بردار اسپین کوارک اولیه و نهایی هستند. برای سادگی سمتگیری‌های اسپین  $\frac{1}{2}$  و  $-\frac{1}{2}$  مربوط به کوارک‌های اولیه و نهایی را به ترتیب با علائم  $\uparrow$  و  $\downarrow$  نشان می‌دهیم.

به منظور بررسی کاملی از اثر اسپین بر روی تابع ترکش، مربع قسمت اسپینوری دامنه را برای مزون سنگین تولید شده، در سه بخش جداگانه زیر محاسبه نموده‌ایم.

الف) سمتگیری یکسان کوارک اولیه و نهایی ( $\uparrow, \uparrow$ ).

ب) سمتگیری متفاوت کوارک اولیه و نهایی ( $\downarrow, \uparrow$ ).

ج) متوسط گیری روى اسپین کوارک اولیه و جمع روى اسپین جت کوارک نهایی (A.S.).

محاسبات ما برای مربع اسپینور دامنه نشان می‌دهد که برای حالت شبه نرده‌ای و برداری روابط زیر برقرار است

$$\Gamma^z(p_2, k_2) = \Gamma^z(\uparrow, \uparrow) = \Gamma^z(\downarrow, \downarrow) \quad (21)$$

$$\Gamma^z(p_2, k_2) = \Gamma^z(\uparrow, \downarrow) = \Gamma^z(\downarrow, \uparrow) \quad (22)$$

با انجام عمل تریس در (۲۰)، استفاده از سینماتیک مسئله، جایگذاری قسمت اسپینوری دامنه در تابع ترکش (۱۴) و انجام انتگرال‌های فضای فاز مطابق [۸] نتایج زیر را برای توابع ترکش در دو حالت متفاوت تابع موج مزونی به دست آورده‌ایم. لازم به ذکر است که توابع ترکش در حالت مزون برداری از مجموع مؤلفه‌های عرضی و طولی به صورت زیر به دست آمده‌اند.

$$[dx] = dx_1 dx_2 \delta(1 - x_1 - x_2), \quad (11)$$

$$T_H = \frac{4\pi\alpha_s(2m_Q)}{2\sqrt{2}\bar{P}^0 p_2^0 k_2^0} \frac{m_1 m_2 C_f}{(P^0 + k_2^0 - p_2^0)} \times \frac{\Gamma}{(P^0 + k_2^0 - p_2^0)} \quad (12)$$

در این رابطه  $\Gamma$  ترکیب مناسبی از یک انتشارگر گلئونی و اسپینورهای مربوط به تابع موج کوارک‌ها است که از حل معادله دیراک به دست می‌آیند و ما آن را قسمت اسپینوری دامنه می‌نامیم.  $C_f$  ضریب رنگ و  $\alpha_s(2m_Q)$  ثابت تزویج مربوط به برهم‌کش قوی بین گلئون و کوارک در دو رأس نمودار فاینم من شکل ۱ است.

تابع موج حالت مقید مزونی که یک تابع موج حالت  $S$  است، در انتقال تکانه‌های بسیار بالا می‌تواند به صورت یک تابع دلتا دیراک مانند معادله (۱۳) در نظر گرفته شود [۱۰]. این رفتار تابع موج تضمین می‌کند که اجزای تشکیل دهنده حالت مقید به موازات یکدیگر حرکت کرده و هیچ گونه حرکت ارتعاشی نسبت به جهت حرکت شان نداشته باشدند.

$$\psi_M = \frac{f_M}{\sqrt{2}} \delta(x_i - \frac{m_i}{M}), \quad (13)$$

که در آن  $f_M$  ثابت واپاشی حالت مقید بر حسب GeV است. با استفاده از روابط (۹) تا (۱۳) می‌توان تابع ترکش مربوط به تولید مزون سنگین را به صورت زیر به دست آورد

$$\begin{aligned} D_Q^{B(S)}(z, \mu_0) &= \frac{1}{\sqrt{2}} m_1 m_2 [\pi \alpha_s(2m_Q) f_M C_f]^z \times \\ &\int \frac{\bar{\Gamma} \Gamma \delta^z(\vec{P} + \vec{k} - \vec{p})}{(K_1 + K_2)^z (\bar{P}^0 p_2^0 k_2^0) (\bar{P}^0 + p_2^0 - k_2^0)} d^z \bar{P} d^z \bar{k}. \end{aligned} \quad (14)$$

در محاسبه تابع ترکش مهم ترین قسمت، محاسبه مربع قسمت اسپینوری دامنه یعنی  $\bar{\Gamma} \Gamma = \bar{\Gamma} \Gamma$  است که به صورت زیر محاسبه می‌شود.

$$\Gamma = \bar{u}(p_2, s) \gamma_\mu u(p_1, s) \bar{v}(k_1, s) \gamma_\mu v(k_2, s), \quad (15)$$

$$\begin{aligned} \bar{\Gamma} \Gamma &= Tr[u(p_2, s) \gamma^\mu \bar{u}(p_1, s) \bar{v}(k_1, s) \gamma^\mu, \\ &\quad \bar{u}(k_2, s) u(k_2, s) \gamma_\mu v(k_1, s) u(p_1, s) \gamma_\mu \bar{u}(p_2, s)], \end{aligned} \quad (16)$$

که در آن

$$u(p, \lambda) \bar{u}(p, \lambda) = \frac{1}{\sqrt{2}}(1 + \gamma_5 \not{S})(p + m), \quad (17)$$

$$v(p, \lambda) \bar{v}(p, \lambda) = \frac{1}{\sqrt{2}}(1 + \gamma_5 \not{S})(p - m). \quad (18)$$

در این روابط  $S$  اسپین کوارک و  $\lambda$  هلیسیته ذرات است. از

$$\begin{aligned}
& + r^{\gamma} z^{\gamma} (92 - 10z + 12z^{\gamma} + 6z^{\delta} - 2z^{\epsilon}) \\
& + r^{\delta} z^{\gamma} (-16 + 47z^{\gamma} - 28z^{\delta} + 5z^{\epsilon}) \\
& - 2r^{\gamma} (10 - 27z - 4z^{\gamma} + 7z^{\delta} - 19z^{\epsilon} + 4z^{\delta}) \\
& + r^{\epsilon} (10 - 3z - 129z^{\gamma} + 190z^{\delta} - 72z^{\epsilon} + 18z^{\delta}))], \\
& \quad (28)
\end{aligned}$$

$$\begin{aligned}
D_{(\downarrow, \uparrow)}^{Q \rightarrow B_c(^S)}(z, \mu_0) &= D_{(\downarrow, \uparrow)}^{Q \rightarrow B_c(^S)}(z, \mu_0) \\
& = \frac{\pi^{\gamma} c_f^{\gamma} \alpha_s^{\gamma} (m_Q)}{\gamma(-1+r)^{\gamma} \xi(z)} \times (-1+z)^{\gamma} z \\
& \times [r^{\epsilon} (-2+2r) z^{\epsilon} + r^{\gamma} z^{\gamma} (-8+6z-2z^{\gamma} + 2r^{\gamma}) \\
& (2-2z+2z^{\gamma}) - 2r^{\gamma} (\gamma-2z+4z^{\gamma}) \\
& + r(\gamma\gamma-10z+5z^{\gamma})] + r^{\gamma} z^{\gamma} (r^{\delta} z^{\delta} (\gamma-4z+2z^{\gamma}) \\
& - 2r^{\epsilon} z^{\epsilon} (\gamma\gamma-12z+5z^{\gamma}) - 2(5-8z+z^{\gamma} + 4z^{\epsilon}) \\
& + r(25-36z+22z^{\gamma}) - 2r^{\gamma} (12-18z+16z^{\gamma} - 6z^{\epsilon} + 2z^{\delta}) \\
& + 2r^{\epsilon} (\gamma-12z+34z^{\gamma} - 23z^{\delta} + 5z^{\epsilon}) \\
& + (-4+10z+z^{\gamma} - 8z^{\delta} + 2r^{\gamma} z^{\gamma} (\gamma-2z+z^{\gamma}) \\
& - 2r^{\epsilon} z^{\epsilon} (\gamma\gamma+9z+2z^{\gamma}) + r^{\gamma} z^{\gamma} (\gamma\gamma-84z+44z^{\gamma} + 6z^{\epsilon} - 3z^{\delta}) \\
& + r(11-26z-25z^{\gamma} + 28z^{\delta} + 4z^{\epsilon}) \\
& + r^{\delta} z^{\gamma} (-8+16z+31z^{\gamma} - 28z^{\delta} + 5z^{\epsilon}) + \\
& r^{\epsilon} (\gamma-18z-61z^{\gamma} + 98z^{\delta} - 80z^{\epsilon} + 22z^{\delta})]. \\
& \quad (29)
\end{aligned}$$

از طرف دیگر توابع ترکش مزون شبہ نردهای و برداری با متوسط گیری روی اسپین کوارک سنگین اولیه و جمع روی اسپین حالت نهایی به ترتیب عبارتند از:

$$\begin{aligned}
D_{(A.S)}^{Q \rightarrow B_c(^S)}(z, \mu_0) &= \frac{\pi^{\gamma} c_f^{\gamma} \alpha_s^{\gamma} (m_Q)}{\gamma(-1+r)^{\gamma} \xi(z)} \times \\
& \times r^{\gamma} (-1+z)^{\gamma} \times [r^{\epsilon} z^{\epsilon} + (\gamma-2z+(\gamma-2r+2r^{\gamma}) z^{\gamma}) \\
& + (1-2z+(-1+8r-2r^{\gamma}) z^{\gamma}) \\
& + (2-4r-8r^{\gamma}) z^{\gamma}] + (\gamma+r)^{\gamma} r^{\gamma} z^{\gamma}], \\
& \quad (30)
\end{aligned}$$

$$\begin{aligned}
D_{(A.S)}^{Q \rightarrow B_c(^S)}(z, \mu_0) &= \frac{\pi^{\gamma} c_f^{\gamma} \alpha_s^{\gamma} (m_Q)}{(-1+r)^{\gamma} \xi(z)} \times \\
& r^{\gamma} (-1+z)^{\gamma} z \times [r^{\epsilon} z^{\epsilon} + (\gamma-2z+(\gamma-4r+4r^{\gamma}) z^{\gamma}) \\
& - 4r^{\gamma} z^{\gamma} (-\gamma(-1+z) + (\gamma-2z+(\gamma-2r+2r^{\gamma}) z^{\gamma})]
\end{aligned}$$

$$D_{(\uparrow, \uparrow)}^V(z, \mu_0) = 2D_{(\uparrow, \uparrow)}^T(z, \mu_0) + D_{(\uparrow, \uparrow)}^L(z, \mu_0), \quad (23)$$

$$D_{(\uparrow, \downarrow)}^V(z, \mu_0) = 2D_{(\uparrow, \downarrow)}^T(z, \mu_0) + D_{(\uparrow, \downarrow)}^L(z, \mu_0). \quad (24)$$

حالت اول: اگر تابع موج مزون را به صورت تابع موج شعاعی در مبدأ در نظر بگیریم، آنگاه خواهیم داشت

$$\int \frac{d^{\gamma} p}{(\gamma\pi)^{\gamma}} \psi_M = \frac{|R(\circ)|}{\sqrt{4\pi}}, \quad (25)$$

$$\begin{aligned}
D_{(\downarrow, \downarrow)}^{Q \rightarrow B_c(^S)} &= D_{(\downarrow, \uparrow)}^{Q \rightarrow B_c(^S)} = \frac{\gamma c_f^{\gamma} \alpha_s^{\gamma} (m_Q)}{\xi} |R(\circ)| \times \\
& [r^{\delta} (-1+z)^{\gamma} z^{\gamma} (\gamma-2r(\gamma+z)) + \\
& r^{\gamma} (\gamma+a^{\gamma} (-2+z)^{\gamma} - 8z+4z^{\gamma}) - \\
& 4r^{\epsilon} (\gamma-8z+2z^{\gamma}) + r^{\epsilon} (\gamma-10z+4z^{\gamma} - \\
& 4z^{\gamma} + z^{\delta} + a^{\gamma} (\gamma-24z+18z^{\gamma} - 6z^{\epsilon} + z^{\delta}))], \\
& \quad (26)
\end{aligned}$$

$$\begin{aligned}
D_{(\uparrow, \uparrow)}^{Q \rightarrow B_c(^S)} &= D_{(\downarrow, \downarrow)}^{Q \rightarrow B_c(^S)} = \frac{\gamma c_f^{\gamma} \alpha_s^{\gamma} (m_Q)}{\xi} |R(\circ)| \times \\
& [r^{\delta} (-1+z)^{\gamma} z^{\gamma} (-\gamma+4a^{\gamma} + a^{\epsilon}) r^{\delta} (-1+z) z^{\gamma} \\
& + (\gamma+a^{\gamma}) r^{\gamma} (-1+z) z^{\gamma} - r(-1+3z+z^{\gamma} + z^{\delta}) \\
& + r^{\epsilon} (-1+3z+(\gamma+4a^{\gamma}) z^{\gamma} - (\gamma+4a^{\gamma}) z^{\delta} \\
& + (\gamma+a^{\gamma}) z^{\delta}) - r^{\gamma} z^{\gamma} (\gamma-12z+5z^{\gamma} + z^{\delta} \\
& + a^{\gamma} (\gamma-4z-2z^{\gamma} + 2z^{\delta})) + r^{\epsilon} z^{\epsilon} (\gamma-10z+4z^{\gamma} - \\
& 4z^{\gamma} + z^{\delta} + a^{\gamma} (\gamma-12z+4z^{\gamma} - z^{\epsilon} + z^{\delta}))], \\
& \quad (27)
\end{aligned}$$

$$\begin{aligned}
D_{(\uparrow, \uparrow)}^{Q \rightarrow B_c(^S)}(z, \mu_0) &= D_{(\downarrow, \downarrow)}^{Q \rightarrow B_c(^S)}(z, \mu_0) \\
& = \frac{\pi^{\gamma} c_f^{\gamma} \alpha_s^{\gamma} (m_Q)}{\gamma(-1+r)^{\gamma} \xi(z)} \times \\
& \times r^{\gamma} (-1+z)^{\gamma} z \times [r^{\epsilon} (-2+2r) z^{\epsilon} + r^{\gamma} z^{\gamma} (-8+6z - \\
& 2z^{\gamma} - 2r^{\gamma} (\gamma-7z+4z^{\gamma}) + r(21-14z+5z^{\gamma}) \\
& + r^{\epsilon} (\gamma-10z+9z^{\gamma}) + r^{\gamma} z^{\gamma} (-2r^{\epsilon} z^{\epsilon} (22-16z+5z^{\gamma}) \\
& + r^{\delta} z^{\delta} (20-2z+9z^{\gamma}) - 2(5-8z+z^{\gamma} + 4z^{\epsilon}) \\
& + r(33-52z+12z^{\gamma} + 18z^{\epsilon}) - 2r^{\gamma} (20-34z+24z^{\gamma} \\
& - 8z^{\epsilon} + 3z^{\delta}) + 2r^{\epsilon} (\gamma-2z+36z-21z^{\gamma} + 5z^{\delta})) \\
& + (-4+10z+z^{\gamma} - 8z^{\delta} - 2r^{\gamma} z^{\gamma} (\gamma-9z+2z^{\gamma}) \\
& + r^{\gamma} z^{\epsilon} (\gamma-10z+3z^{\gamma}) + r(10-38z-21z^{\gamma} + 50z^{\epsilon} - 4z^{\delta})]
\end{aligned}$$

$$\text{صورت می‌گیرد}$$

$$\mu \frac{\partial}{\partial \mu} D_{Q \rightarrow Q\bar{Q}}(z, \mu) = \int_z^1 \frac{dy}{y} P_{Q \rightarrow Q}(z/y, \mu) D_{Q \rightarrow Q\bar{Q}}(y, \mu), \quad (37)$$

که در آن تابع انشعاب  $P_{Q \rightarrow Q}(x = \frac{z}{y}, \mu)$ ، در LO بر حسب  $\alpha_s(\mu)$  به صورت زیر نوشته می‌شود

$$P_{Q \rightarrow Q}(x, \mu) = \frac{\alpha_s(\mu)}{3\pi} \left( \frac{1+x}{1-x} \right)_+ \quad (38)$$

مقدار  $\alpha_s(\mu)$  را با استفاده از مقدار تجربی  $\alpha_s(M_z) = 0.1172$  و از رابطه زیر به دست آورده‌ایم.

$$\alpha_s(\mu) = \frac{\alpha_s(M_z)}{1 + 8\pi b_0 \alpha_s(M_z) \ln(\frac{\mu}{M_z})}, \quad b_0 = \frac{33 - n_f}{48\pi^2}. \quad (39)$$

در این رابطه  $n_f$  تعداد طعم‌های کوارکی زیر مقیاس  $\mu$  بوده و مقیاس تحول  $\mu$  بر حسب  $\mu_R$ ، جرم عرضی کوارک سنگین

$$\mu_R = \sqrt{P_T^2(\text{Parton}) + m_Q^2} \quad (40)$$

تعريف می‌شود، قابل تخمین است.

تابع ترکش محاسبات شده برای هادرون‌های سنگین هنگامی قابل تفسیر هستند که بتوانیم با استفاده از آنها یک کمیت تجربی مانند سطح مقطع پراکندگی را به دست آوریم. با استفاده از روش عامل بندی می‌توان سطح مقطع دیفرانسیلی تولید یک مزون سنگین را بر حسب تابع ترکش تحول یافته و بر اساس

شکل ۲، به صورت زیر به دست آورد [۱۲]

$$\begin{aligned} \frac{d\sigma}{dp_T}(pp \rightarrow Q\bar{Q} + X) &= \sum_{i,j} \int dx_i dx_j dz f_i^p(x_i, \mu) f_j^p(x_j, \mu) \\ &\times [\hat{\sigma}_{ij}(i, j \rightarrow Q(p_T/z + X, \mu))] D_Q^{Q\bar{Q}}(z, \mu), \end{aligned} \quad (41)$$

که در آن  $f_{i,j}$  ها تابع توزیع پارتونی با کسر تکانه‌های  $x_i$  و  $x_j$  مربوط به دو پروتون برخورد کننده،  $\hat{\sigma}$  سطح مقطع پراکندگی سخت تولید کوارک سنگین اولیه و  $D_Q^{Q\bar{Q}}$  تابع ترکش تحول یافته مربوط به مزون سنگین در مقیاس  $\mu$  است. قابل ذکر است که در معادله (۴۱) همه مقیاس‌های بازیهنجارش، عاملبندی

حالت دوم: اگر تابع موج حالت مزونی را به صورت تابع دلتا دیراک زیر در نظر بگیریم

$$\psi_M(x_i, w^\gamma) = \frac{f_M}{2\sqrt{3}} \delta(x_i - \frac{m_i}{M}), \quad (32)$$

که در آن  $f_M$  ثابت واپاشی حالت مقید مزونی بر حسب GeV است. در این صورت نتایج زیر برای توابع ترکش حاصل می‌شود.

$$\begin{aligned} D_{(\uparrow,\downarrow)}^{Q \rightarrow B_c(\gamma S_1)} &= D_{(\downarrow,\uparrow)}^{Q \rightarrow B_c(\gamma S_1)} = \frac{16\pi c_f^* m_\gamma f_m^* \alpha_s^*(2m_Q)}{2\xi(z)} \times \\ &[r^5(-1+z)^5 z^5 (1-2r(1+z)) + \\ &r^5(7+a^5)(-2+z)^5 - 8z + 7z^5) - \\ &2r^5(5-8z+4z^5 + z^5 + a^5(6-8z+3z^5)) + \\ &r^5(5-10z+7z^5 - 2z^5 + z^5 + a^5(12 - \\ &24z + 18z^5 - 6z^5 + z^5))), \end{aligned} \quad (33)$$

$$\begin{aligned} D_{(\uparrow,\uparrow)}^{Q \rightarrow B_c(\gamma S_1)} &= D_{(\downarrow,\downarrow)}^{Q \rightarrow B_c(\gamma S_1)} = \frac{16\pi c_f^* m_\gamma f_m^* \alpha_s^*(2m_Q)}{2\xi(z)} \times \\ &[r^5(-1+z)^5 z(z^5 - (3+4a^5 + a^5)r^5(-1+z)z^5 + \\ &(1+a^5)r^5(-1+z)z^5 - r(-1+3z+z^5+z^5) + \\ &r^5(-1+3z+(6+4a^5))z^5 - (5+4a^5)z^5 + (3+a^5)z^5) - \\ &r^5z^5(10-12z+5z^5 + z^5 + a^5(6-4z-3z^5+3z^5)) + \\ &r^5z^5(5-10z+6z^5 - z^5 + z^5 + \\ &a^5(6-12z+7z^5 - z^5 + z^5))). \end{aligned} \quad (34)$$

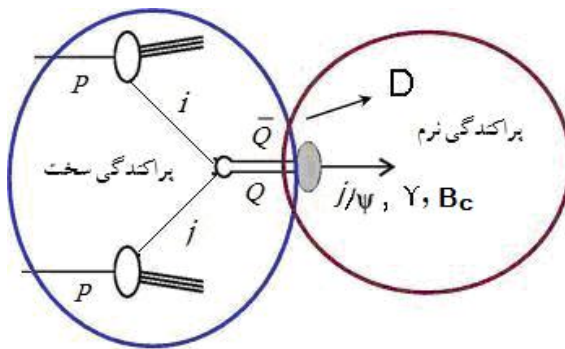
به همین ترتیب توابع ترکش برای حالت شبه نرده‌ای  $(\gamma S_0)$  نیز محاسبه شده است. در کلیه این توابع

$$r = \frac{m_\gamma^2}{M^2}, \quad M = m_\gamma + m_\chi, \quad a = \frac{k_T}{m_\chi} \quad (35)$$

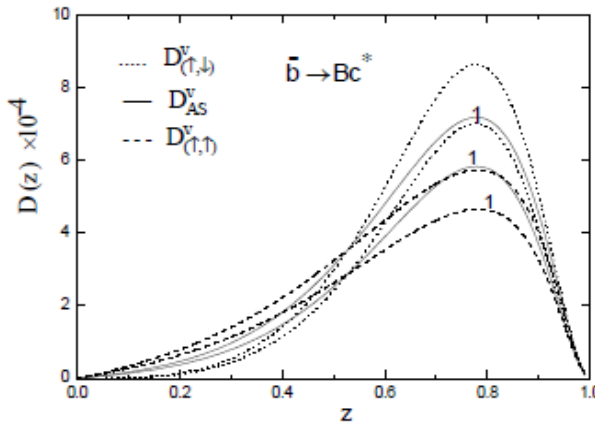
$$\xi = 16\pi m_\gamma^3 [(-1+r)^5 (1-2zr + (1+a^5)r^5 z^5)] \quad (36)$$

که در آن  $k_T$  تکانه عرضی کوارک سنگین اولیه است که مستقیماً به جت کوارکنهایی متقل می‌شود.

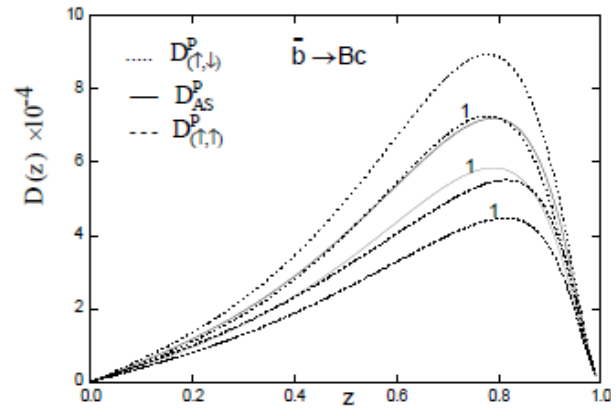
تابع ترکشی که به این ترتیب محاسبه شده‌اند مربوط به مقیاس اولیه ترکش بوده و برای محاسبه سطح مقطع باید به انرژی‌های بالاتر تحول داده شوند. این کار توسط معادله آتلری-پاریسی



شکل ۲. تولید یک مزون سنگین در برخورد دو پروتون.



شکل ۴.تابع ترکش مزون برداری  $B_c^*$  در مقیاس اولیه ترکش  $\mu$ . نمودارهایی که با ۱ مشخص شده‌اند مربوط به تابع موج شعاعی در مبدأ و بقیه مربوط به تابع موج دلتا دیراک است.  $V$  نشان دهنده حالت برداری است.



شکل ۳.تابع ترکش مزون شبه نرده‌ای  $B_c$  در مقیاس اولیه ترکش  $\mu$ . نمودارهایی که با ۱ مشخص شده‌اند مربوط به تابع موج شعاعی در مبدأ و بقیه مربوط به تابع موج دلتا دیراک می‌باشند.  $P$  نشان دهنده حالت شبه نرده‌ای است.

سمت‌گیری اسپین کوارک‌ها و توابع موج مختلف حالت مقید در جداول ۱، ۲ و ۳ آورده شده است. نتایج حاصله نشان می‌دهند که احتمال کل ترکش برای حالت با تابع موج شعاعی در مبدأ نسبت به حالتی که تابع موج دلتای دیراک در نظر گرفته شود، کمی بزرگتر و البته با تقریب نسبتاً خوبی به هم نزدیکند. این امر نشان دهنده این است که استفاده از تابع موج دلتای دیراک به جای تابع موج شعاعی در مبدأ در نتیجه نهایی تأثیر نامطلوبی بر جای نمی‌گذارد. از آنجا که مزون  $(1S) B_c$  مزون سنگینی است انتظار می‌رفت که ترکش در کسر تکانه‌های بالا اتفاق بیافتد، که این امر با توجه به نمودارها تأیید می‌شود. از طرف دیگر مقدار متوسط  $z$  برای سمت‌گیری‌های مختلف کوارک ترکش یافته و نهایی در محدوده  $0/62$  تا  $0/70$  اتفاق می‌افتد.

و ترکش یکسان و برابر  $=2\mu_R$  در نظر گرفته شده است.

به منظور تجزیه و تحلیل توابع ترکش و احتمال تولید هر یک از حالت‌های مزونی مورد نظر مقادیر  $m_c = 1/8 \text{ GeV}$ ،  $\alpha_s = 0/26$ ،  $C_f = \frac{4}{3}$ ،  $m_b = 5/17 \text{ GeV}$  و  $f_m = 0/4 \text{ GeV}$  را در نظر گرفته‌ایم. همچنین مقدار مربع تابع موج شعاعی در مبدأ را با استفاده از حل عددی معادله موج شرودینگر برابر  $|R(0)|^2 = 1/71 \text{ GeV}^3$  به دست آورده‌ایم. شکل‌های ۳ و ۴ به ترتیب تابع ترکش بر حسب پارامتر ترکش  $z$  را برای حالت شبه نرده‌ای و برداری را نشان می‌دهند. همچنین احتمال کل ترکش و مقدار متوسط پارامتر  $z$  برای اثر

جدول ۱. احتمال کل ترکش (F.P) مزون شبیه نردهای  $B_c^*$  در مقیاس اولیه ترکش  $\mu_0$ .

$F.P \times 10^{-4}$ باتابع موج دلتای دیراک	$F.P \times 10^{-4}$ با تابع موج شعاعی	فرآیند ترکش وابسته به اسپین کوارک
۳/۱	۲/۶	$\bar{b}(\uparrow) \rightarrow B_c + \bar{c}(\downarrow)$ $\bar{b}(\downarrow) \rightarrow B_c + \bar{c}(\uparrow)$
۲/۷۶	۲/۲۵	$\bar{b}(\uparrow) \rightarrow B_c + \bar{c}(\uparrow)$ $\bar{b}(\downarrow) \rightarrow B_c + \bar{c}(\downarrow)$
۲/۹	۲/۴۱	$\bar{b}(Ave) \rightarrow B_c + \bar{c}(Sum)$

جدول ۲. احتمال کل ترکش (F.P) مزون برداری  $B_c^*$  در مقیاس اولیه ترکش  $\mu_0$ .

$F.P \times 10^{-4}$ باتابع موج دلتای دیراک	$F.P \times 10^{-4}$ با تابع موج شعاعی	فرآیند ترکش وابسته به اسپین کوارک
۴/۲	۳/۵	$\bar{b}(\uparrow) \rightarrow B_c + \bar{c}(\downarrow)$ $\bar{b}(\downarrow) \rightarrow B_c + \bar{c}(\uparrow)$
۲/۷۸	۲/۲۶	$\bar{b}(\uparrow) \rightarrow B_c + \bar{c}(\uparrow)$ $\bar{b}(\downarrow) \rightarrow B_c + \bar{c}(\downarrow)$
۳/۵۳	۳	$\bar{b}(Ave) \rightarrow B_c + \bar{c}(Sum)$

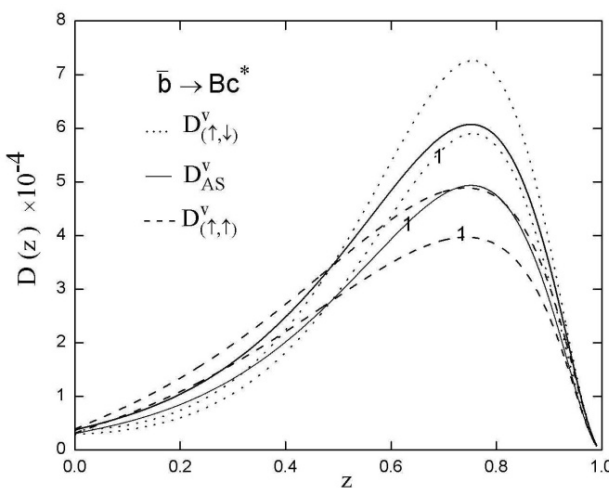
جدول ۳. احتمال کل ترکش (F.P) و مقدار متوسط  $z$  ( $\langle z \rangle$ ) مزون‌های  $B_c$  و  $B_c^*$  در مقیاس  $\mu_0$  با تابع موج شعاعی در مبدأ.

$\langle z \rangle$ $B_c^*$ $B_c$	$F.P \times 10^{-4}$ $B_c^*$ $B_c$	فرآیند ترکش وابسته به اسپین کوارک
۰/۶۷    ۰/۶۴	۲/۴۱      ۳	$\bar{b}(Ave) \rightarrow B_c(B_c^*) + \bar{c}(Sum)$
۰/۶۷    ۰/۶۴	۲/۲۵      ۲/۲۶	$\bar{b}(\uparrow) \rightarrow B_c(B_c^*) + \bar{c}(\uparrow)$ $\bar{b}(\downarrow) \rightarrow B_c(B_c^*) + \bar{c}(\downarrow)$
۰/۷۰    ۰/۶۴	۳/۵۸      ۳/۵	$\bar{b}(\uparrow) \rightarrow B_c(B_c^*) + \bar{c}(\downarrow)$ $\bar{b}(\downarrow) \rightarrow B_c(B_c^*) + \bar{c}(\uparrow)$

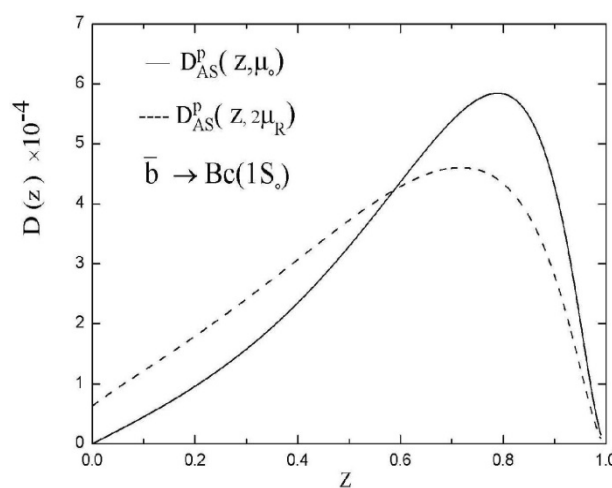
به منظور محاسبه سطح مقطع، کلیه توابع ترکش به دست آمده را با استفاده از معادله آلتزلی-پاریسی (۳۷) تا مقیاس  $\mu = 2\mu_R$  تحول داده‌ایم. در شکل ۵ تغییر رفتار تابع ترکش تحول یافته نسبت به تابع ترکش در مقیاس اولیه  $\mu_0$  را برای حالتی که روی اسپین پادکوارک سنجن اولیه متوسط گری و روی اسپین حالت نهایی جمع زده شده، نشان داده‌ایم. به عنوان نمونه برای شکل‌های ۶ و ۷ نمودارهای مربوط به تحول توابع ترکش نشان داده شده است. بررسی‌های مانشان می‌دهد

برای خلاصه سازی، حالت نردهای  $(^3S_1)$   $B_c$  را با  $B_c$  و حالت برداری  $(^3S_1)$   $B_c^*$  را با  $B_c^*$  نشان داده‌ایم.

همان‌طوری که از نتایج ارائه شده در جدول ۳ مشاهده می‌شود  $\langle z \rangle$  در حالت  $B_c$  هیچ حساسیتی نسبت به سمتگیری اسپین از خود نشان نمی‌دهد ولی احتمال کل ترکش نسبت به سمتگیری اسپین و قطبش مزون تغییر می‌کند. در حالت  $B_c^*$  نیز این حساسیت برای  $\langle z \rangle$  بسیار ناچیز و احتمال کل ترکش نسبت به سمتگیری اسپین و قطبش مزون تغییر تغییر می‌کند.



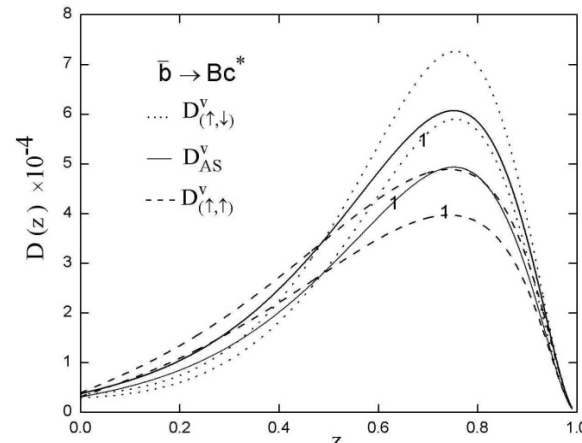
شکل ۶. توابع ترکش تحول یافته برای مزون شبه نرده‌ای  $B_c$  در مقیاس تحول  $\mu = 2\mu_R$ . نمودارهایی که با ۱ مشخص شده‌اند مربوط به تابع موج شعاعی در مبدأ و بقیه مربوط به تابع موج دلتا دیراک می‌باشند. P نشان دهنده حالت شبه نرده‌ای است.



شکل ۵. مقایسه رفتار توابع ترکش مزون شبه نرده‌ای  $B_c$  در مقیاس اولیه  $\mu$  و مقیاس تحول  $2\mu_R = \mu$ . برای حالتی که روی اسپین کوارک اولیه متوسطگیری و روی اسپین حالت نهایی جمع زده شده است.

[۱۳] استفاده نموده، توزیع دیفرانسیلی تکانه عرضی سطح مقطع برای مزون‌های  $B_c$  و  $B_c^*$  را محاسبه و نتایج به دست آمده را به ترتیب در نمودارهای (۸) و (۹) برای برخورد دهنده LHC و Tevatron Run II نمایش داده‌ایم. همچنین مقادیر کل سطح مقطع برای مزون  $B_c$  و  $B_c^*$  به ترتیب در جدول‌های ۴ و ۵ برای برخورد دهنده‌های هادرونی LHC و Tevatron Run II نشان داده شده است. این نتایج با داده‌های حاصل از [۱۴] و [۱۵] مقایسه شده است. نتایج ما با سطح مقطع کل گروه [۱۵] برای تولید مزون  $B_c$  و  $B_c^*$  در مقیاس  $1/83 \pm 0/46 nb$  و برای  $B_c^*$  در مقیاس  $1/07 \pm 0/32 nb$  مطابق است. همچنین در این جداول برخورد دهنده Tevatron Run II همخوانی مناسبی دارد. در جدول‌های ۴ و ۵ به ترتیب سطح مقطع کل مزون‌های سنگین برای سمت‌گیری‌های مختلف اسپین کوارک ترکش  $B_c$  و  $B_c^*$  یافته و نهایی نشان داده شده است. همچنان در این جداول مقدار سطح مقطع کل برای حالتی که بر روی اسپین کوارک اولیه متوسطگیری و بر روی اسپین کوارک نهایی جمع زده شده است، آورده شده است.

مطابق آنچه انتظار داشتیم، با افزایش انرژی برخورد دهنده هادرونی احتمال تولید مزون  $B_c \rightarrow b$  افزایش می‌یابد. مطابق مرجع [۱۲] سطح مقطع کل تولید مزون  $B_c$  در انرژی



شکل ۷. توابع ترکش تحول یافته برای مزون برداری  $B_c^*$  در مقیاس تحول  $2\mu_R = \mu$ . نمودارهایی که با ۱ مشخص شده‌اند مربوط به تابع موج شعاعی در مبدأ و بقیه مربوط به تابع موج دلتا دیراک است. V نشان دهنده حالت برداری است.

که قله تابع ترکش تحول یافته نسبت به تابع ترکش اولیه به سمت  $z$  های کوچکتر می‌کند و این موضوع برای کلیه حالت‌ها صادق است. این به آن معنی است که احتمال تولید مزون در اثر ترکش مستقیم در انرژی‌های بالاتر در کسر تکانه‌های پایین‌تر محتملتر است.

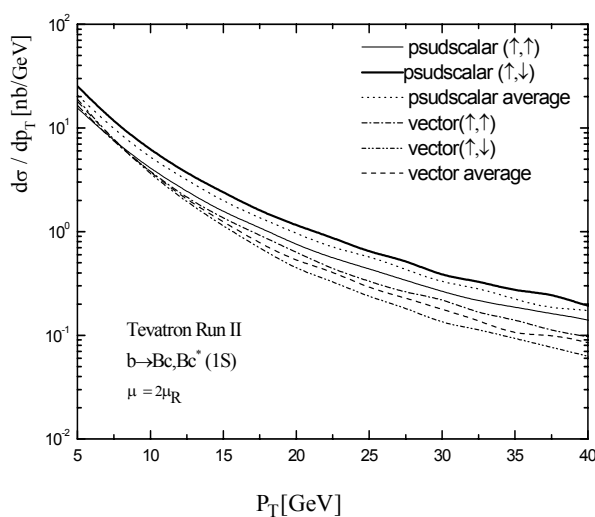
در محاسبات سطح مقطع از توابع توزیع پارتونی MRS

جدول ۴. سطح مقطع کل  $\sigma[nb]$  مزون  $B_c$  در مقیاس  $\mu = 2\mu_R$ .

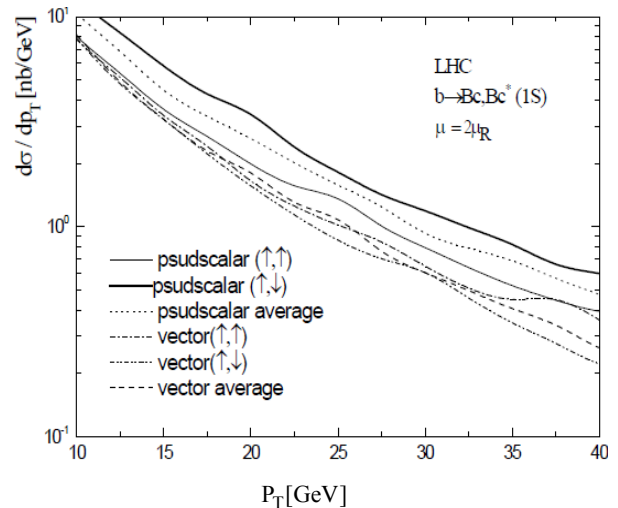
فرآیند ترکش وابسته به اسپین کوارک	LHC $\sqrt{S} = ۱۴ \text{ TeV}$	Teatron Run II $\sqrt{S} = ۱/\sqrt{۹۶} \text{ GeV}$
$\bar{b}(\uparrow) \rightarrow B_c + \bar{c}(\uparrow)$	۱/۹	۱/۷
$\bar{b}(\downarrow) \rightarrow B_c + \bar{c}(\downarrow)$		
$\bar{b}(\uparrow) \rightarrow B_c + \bar{c}(\downarrow)$	۳	۲/۸
$\bar{b}(\downarrow) \rightarrow B_c + \bar{c}(\downarrow)$		
$\bar{b}(Ave) \rightarrow B_c + \bar{c}(Sum)$	۲/۶	۲/۳
مرجع [۱۵]	----	۱/۴

جدول ۵. سطح مقطع کل  $\sigma[nb]$  مزون  $B_c^*$  در مقیاس  $\mu = 2\mu_R$ .

فرآیند ترکش وابسته به اسپین کوارک	LHC $\sqrt{S} = ۱۴ \text{ TeV}$	Teatron Run II $\sqrt{S} = ۱/\sqrt{۹۶} \text{ GeV}$
$\bar{b}(\uparrow) \rightarrow B_c^* + \bar{c}(\uparrow)$	۲/۱	۱/۹
$\bar{b}(\downarrow) \rightarrow B_c^* + \bar{c}(\downarrow)$		
$\bar{b}(\uparrow) \rightarrow B_c^* + \bar{c}(\downarrow)$	۲/۴	۲/۱
$\bar{b}(\downarrow) \rightarrow B_c^* + \bar{c}(\downarrow)$		
$\bar{b}(Ave) \rightarrow B_c^* + \bar{c}(Sum)$	۲/۲	۲/۰۴
مرجع [۱۵]	----	۲/۳



شکل ۶. توزیع تکانه عرضی سطح مقطع دیفرانسیلی برای تولید حالت‌های شبه نرده‌ای  $B_c$  و برداری  $B_c^*$  با تابع موج در مبدأ، در برخورددنهنده Tevatron Run II با انرژی برخورد  $\sqrt{S} = ۱/\sqrt{۹۶} \text{ GeV}$ .



شکل ۷. توزیع تکانه عرضی سطح مقطع دیفرانسیلی برای تولید حالت‌های شبه نرده‌ای  $B_c$  و برداری  $B_c^*$  با تابع موج در مبدأ، در برخورددنهنده LHC با انرژی برخورد  $\sqrt{S} = ۱۴ \text{ TeV}$ .

استفاده ازتابع توزیع پارتونی متفاوت در محاسبات می‌باشد در صورتی که محاسبات ما با وارد کردن تابع توزیع پارتونی [۱۳] و در نظر گرفتن نقش اسپین به نتایج [۱۵] نزدیکتر است.

$\sigma = 0.8 \mu b$ ,  $\sqrt{s} = 14 \text{ TeV}$  می‌باشد که سهم غالب تولید این مazonها، فوزیون گلئونی می‌باشد به طوری که سهم ترکش دو مرتبه پایین‌تر از سهم گلئونی است. در محاسبات [۵] سطح مقطع کل از مرتبه پایین‌تری به دست آمده است و این به دلیل

9. M Suzuki, *Phys. Rev. D* **33** (1986) 676.
10. F Amiri, C R Ji, *Phys. Lett. B*, **384** (1996) 241.
11. K Kolodziej and Rückl, hep-ph/9408287, *Phys. Lett. B*, **348** (1995) 219.
12. D Acosta et al., The CDF Collaboration, *Phys. Rev. Lett.* **88** (2002) 161802.
13. A D Martin, R G Roberts, W J Stiriling, *Phys. Rev. D* **50** (1994) 6734.
14. M Masetti and F Sartogo, hep-ph/9503491.
15. C H Chang, Y Q Chen, G P Han, H T Jiang, *Phys. Lett. B* **364** (1995).

1. S B Baranov, *Phys. Rev. D* **56** (1997) 3046.
2. K Cheung, *Phys. Rev. Lett.* **71** (1993) 3413.
3. C H Chan, *Phys. Rev. D* **48** (1993) 4086.
4. K Cheung and T C Yuan, *Phys. Rev. D* **50** (1994) 3181.
5. K Cheung and T C Yuan, *Phys. Rev. D* **53** (1996) 1232.
6. K Cheung, *Phys. Lett. B* **472** (2000) 408.
7. M Beneke and G Buchalla, *Phys. Rev. D* **53** (1996) 4991.
8. M A Gomshi Nobary and R Sepahvand, *Phys. Rev. D* **71** (2005) 034024.